

بررسی آزمایشگاهی تقویت برشی تیرهای بتن آرمه به روش کاشت میلگرد پیش‌تنیده در ارتفاع مقطع

رضا درشد* (دانشیار)

احسان توسلی (دانشجوی کارشناسی ارشد)

مهربد بزرگ (دانشجوی کارشناسی ارشد)

دانشکده هندسی عربان، دانشگاه نزد

مهمشی عمان شرف، (زمستان ۱۳۹۷)، دوری ۲ - ۴، شماره ۲ / ۳، ص. ۱۰۵ - ۱۱۱، (پادشاهت فتح)

در نوشتار حاضر، استفاده از روش پیشنهادی کاشت میلگرد پیش‌تنیده در ارتفاع مقطع جهت تقویت تیرهای با کمبود آرماتور برشی به صورت آزمایشگاهی بررسی شده است. به منظور بررسی اثرپذیری روش تقویت پیشنهادی، ۱۰ نمونه تیر بتن آرمه به ابعاد $۲۰۰ \times ۲۰۰ \times ۱۷۰۰$ میلی‌متر با ضعف مقاومت برشی در یک طرف ساخته و با شرایط تقویت مختلف به صورت دهانه ساده با بار دونقطه‌بینی در وسط دهانه آزمایش شدند. در کلیه تیرها قبل از تقویت با پیش بارگذاری، ترک برشی ایجاد شد. نیمی از نمونه‌ها پس از باربرداری و بقیه تحت بار ثابت تقویت شدند. براساس نتایج بدست آمده، روش کاشت میلگرد پیش‌تنیده به طور مؤثری می‌تواند جهت تقویت برشی تیرها، حتی در مواردی که تیر ترک خودگی برشی قابل توجه داشته باشد با باربرداری و یا بدون باربرداری از تیر به کار رود.

واژگان کلیدی: تقویت برشی، تیر بتن آرمه، کاشت در ارتفاع مقطع، میلگرد پیش‌تنیده.

۱. مقدمه

امروزه می‌توان از بتن مسلح به عنوان یکی از مهم‌ترین مواد ساختمانی موجود با کاربردی فراگیر در بسیاری از سازه‌های کوچک و بزرگ نام برد. این تمايل روزافزون به ساخت و ساز با بتن مسلح را می‌توان ناشی از دسترسی آسان به شن و ماسه و سیمان، بی‌نیازی به نیروی کار بسیار ماهر در ساخت و ساز بتن آرمه و برتری اقتصادی بتن آرمه در مقایسه با سایر مصالح ساختمانی دانست. به علاوه، شمار دیگری از مزایای بتن از جمله: مقاومت فشاری نسبتاً بالا، مقاومت بسیار خوب در برابر آتش‌سوزی، صلابت بالا، هزینه‌ی نگهداری پایین و غیره، موجب موفقیت قابل توجه آن نسبت به سایر مصالح ساختمانی شده است. با وجود این، در سراسر دنیا سازه‌های بتی زیادی وجود دارند که از لحاظ مهندسی غیرایمن و غیرقابل استفاده تلقی می‌شوند و نیاز به تقویت دارند. بسیاری از اعضاء بتن مسلح به دلیل نقايس طراحی و یا اجرایی، مقاومت کافی ندارند. در سال‌های اخیر، به منظور برطرف کردن نقیصه‌ی ذکر شده به استفاده از روش‌های مختلف مقاوم سازی توجه فراوان شده است. یکی از اعضاء مهم سازه‌ی که در ساختمان‌های بتی در معرض خرابی است، تیرهای بتی هستند. مد خرابی تیرهای بتی عموماً به صورت خمشی و یا برشی مشاهده می‌شود. مد شکست برشی خط‌نراک‌تر و با جذب انرژی کمتری همراه

* نویسنده مستول

تاریخ: دریافت ۲۴ آذر ۱۳۹۵، اصلاحیه ۱۴، شماره ۱، پذیرش ۲۴ آذر ۱۳۹۶.

DOI: 10.24200/J30.2019.1448

۱.۲. نمونه‌های آزمایشگاهی

نمونه‌های آزمایشگاهی استفاده شده در پژوهش حاضر در مجموع ۱۰ تیرهای بتن مسلح با ابعاد $۱۷۰ \times ۲۰۰ \times ۲۰۰$ میلی‌متر بودند، که با دهانه‌ی ساده‌ی $1/5$ متر تحت بارگذاری دونقطه‌ی در وسط دهانه (به فواصل ۳۰۰ میلی‌متر) قرار گرفته بودند. دهانه‌ی برش در هر طرف تیرها ۶۰° میلی‌متر و ضعف برشی فقط در یک سمت تیر ایجاد شده بود. برای ایجاد ضعف برشی قابل توجه، که شکست برشی را حاکم کند، در یک دسته‌ی ۵ تایی از تیرهای در یک سمت تیر در دهانه‌ی برش خاموت‌گذاری صورت نگرفته (گروه ۵S) و در دسته‌ی ۵ تایی دوم، فقط یک خاموت در وسط دهانه‌ی برش قرار داده شده است (گروه ۱S). آرماتور‌گذاری طولی به صورت ۲ آرماتور کششی به قطر ۲۲ میلی‌متر در پایین تیر و ۲ آرماتور فشاری به قطر ۱۵ میلی‌متر در بالای تیر طرح شد و خاموت‌هایی با قطر ۸ میلی‌متر در فواصلی برابر نصف عمق مؤثر در خارج از نواحی با ضعف برشی قرار داده شدند.

پارامترهای متغیر در پژوهش حاضر، شامل پیش‌تییدگی یا عدم پیش‌تییدگی بولت‌های تقویتی و نحوه بارگذاری نمونه‌ها در حین تقویت (تقویت پس از باربرداری و تقویت تحت بار ثابت) است. به منظور شیوه‌سازی حالتی که سازه بدون عملیات باربرداری نیاز به تقویت دارد (همانند عرضه‌ی بل های مرتفع) سیستمی طراحی شد که تیر در حین اعمال بار و بدون باربرداری تقویت شود. سیستم طراحی شده به این صورت است که به جهت راحتی کار، تیر به صورت وارونه روی تکیه‌گاه‌ها قرار می‌گیرد و بارگذاری بر روی تیر توسط یک جک هیدرولیکی از پایین به سمت بالا صورت می‌گیرد. پس از اعمال بار تا مقدار مشخص از پیش تعیین شده، جک‌های مکانیکی ثابت‌شونده‌ی در زیر صفحات بارگذاری قرار می‌گیرند تا از کاهش تدریجی بار در طی عملیات زمانبند تقویت در جک هیدرولیکی جلوگیری شود. پس از ثابت کردن بار بر روی تیر، عملیات تقویت صورت می‌گیرد و نیز پس از سیری شدن زمان لازم جهت عمل اولی چسب اپوکسی مورد استفاده در تقویت، بارگذاری نهایی توسط جک هیدرولیکی انجام می‌شود که در این مرحله بارگذاری تا لحظه‌ی گسیختگی مقطع ادامه می‌باید. در پژوهش حاضر این نوع بارگذاری، بارگذاری ثابت نامیده شد. جزئیات شماتیک تقویت و آزمایش تیرها تحت بار ثابت را می‌توان در شکل ۱ مشاهده کرد. به جهت مقایسه‌ی نحوه بارگذاری‌های مختلف، یکسری از تیرها تحت بارگذاری ثابت آزمایش و تعدادی از تیرها پس از اعمال بارگذاری اولیه و مشاهده‌ی ترک در سطح آنان، باربرداری شدند و پس از انجام عملیات تقویت، بارگذاری مجدد آنان تا لحظه‌ی گسیختگی صورت گرفت.

۲.۱. بولت‌های تقویتی

از بولت‌های فولادی تمام رزو به قطرهای واقعی $۴/۵$ و $۹/۲$ میلی‌متر جهت تقویت برشی نمونه‌ها استفاده شد. به منظور نامگذاری ساده‌تر، از این به بعد بولت‌های تقویتی با شماره‌های ۶ و ۱۰ نام بده می‌شوند. مشخصات مکانیکی بولت‌های مذکور، که براساس آزمون کشش به دست آمده است، در جدول ۱ ارائه شده است. ضمناً در شکل‌های ۲ و ۳، نمودار نیرو - جابه‌جایی بولت‌های شماره‌ی ۶ و ۱۰ براساس جابه‌جایی در طول ۵ برابر قطر مشاهده می‌شود.

۲.۲. نامگذاری نمونه‌ها

نمونه‌تیرهای مورداً آزمایش به صورتی ساخته شدند که در یک طرف در طول دهانه‌ی برش (۶۰° میلی‌متر)، به علت نبود یا کمبود خاموت، ضعف برشی وجود داشت.

نتایج یک برنامه‌ی آزمایشی در سال ۲۰۰۸ [۱] جهت بررسی تأثیر روش تقویت با استفاده از الیاف مسلح پلیمری کربن دار و ایجاد سوراخ در هسته‌ی تیرهای بتن آرمه، حاکی از تقویت بسیار مؤثر روش کاشت الیاف مسلح کربن دار در هسته‌ی تیر بتن آرمه بود. همچنین در سال ۲۰۱۲ [۲] یک برنامه‌ی آزمایشگاهی براساس نمونه‌های تحت بررسی مستقیم تدارک دیده شد و در آن اثر پارامترهایی مانند: مقاومت بتن، قطر سوراخ، قطر میلگرد، سطح میلگرد و طول میلگرد بررسی شد و نتایج نشان داد که مسئله‌ی جدنشدگی را می‌توان با ارائه‌ی طول کافی میلگرد و مقاومت بالای بتن برطرف کرد. برخی پژوهشگران، [۳] نیز مطالعاتی را بر روی تأثیر روش کاشت در ارتفاع انجام دادند و در ادامه، روش مذکور را با روش‌های معمول نصب در نزدیکی سطح و نصب خارجی ارزیابی و مقایسه کردند و برای یک نمونه‌ی خاص، میزان افزایش ظرفیت برشی برای نمونه‌ی تقویت شده به روش کاشت در ارتفاع مقطع به صورت قابل ملاحظه‌ی بسیار بالاتر از نمونه‌های تقویت شده به دو روش دیگر بود.

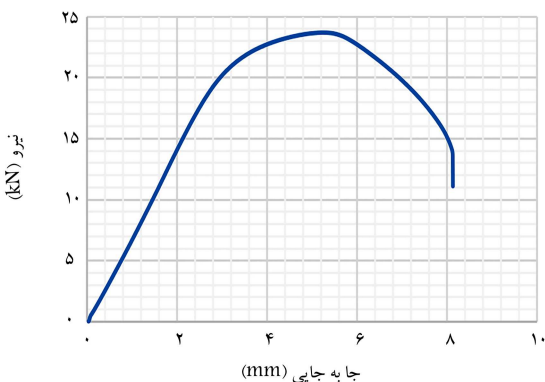
همچنین ۴ پژوهه‌ی پژوهشی جهت بررسی روش کاشت در ارتفاع مقطع از لحاظ عملی و اجرایی بودن بررسی شدند و میزان تعامل میلگردهای تقویتی و نیز میزان تعامل بین میلگردهای تقویتی و خاموت‌های موجود درون مقطع ارزیابی شدند. پس از انجام آزمایش‌های نتایجی به دست آمد که طبق آن‌ها مشخص شد میلگردهای تقویتی شیبدار عملکرد بهتری نسبت به میلگردهای تقویتی عمودی دارند و هر چه تعداد میلگردهای تقویتی افزایش یابد، مقطع شکل پذیرتر می‌شود. در برخی مطالعات پیشین در زمینه‌ی تقویت برشی تیرهای بتن آرمه به روش کاشت در ارتفاع مقطع از میلگردهای فولادی و الیاف مسلح پلیمری جهت تقویت تیر استفاده شده است. در آزمایش‌های مذکور به منظور تقویت تیر، سوراخی در ارتفاع تیر از بالا به پایین تا نزدیکی کاور تحستانی تیر حفر و میلگرد تقویتی توسعه چسب اپوکسی در آنجا کاشته شده است. دلیل اینکه سوراخ را تا انتهای ادامه نمی‌دادند، جلوگیری از ریختن چسب اپوکسی گزارش کردند. اشکالی که وجود دارد، این است که امکان گسیختگی^۱ یا همان گسیختگی جدنشدگی در تقویت مذکور وجود دارد. این نوع گسیختگی به این شکل است که مصالح تقویتی قبل از رسیدن به ظرفیت نهایی خود از مقطع بتنی جدا می‌شوند و دلیل آن پیوند سست و نامناسب میان مصالح تقویتی و مقطع بتنی است. در روش پیشنهادی پژوهش حاضر، سوراخی کاملاً در ارتفاع مقطع حفر شد و بولت تقویتی توسط چسب اپوکسی درون مقطع قرار گرفت. این تذکر لازم است که وجود واشر در انتهای بولت، مانع از ریختن چسب اپوکسی می‌شود. علاوه بر این، وجود بولت به جای میلگرد، امکان پیش‌تییده کردن را نیز فراهم می‌کند که خود نیز تا حدی رفتار تیر تقویت شده را بهبود می‌بخشد. مهار کردن بولت تقویتی توسط مهره‌ها و واشرهای ابتدایی و انتهایی، مانع از گسیختگی جدنشدگی می‌شود و بولت تا بیشینه‌ی ظرفیت خود در تقویت تیر مشارکت می‌کند.

۲. مطالعه‌ی آزمایشگاهی

به منظور بررسی تأثیر پارامترهای پیشنهادی، پیش‌تییدگی و تقویت تحت بار ثابت، روی نتایج تقویت برشی به روش کاشت در ارتفاع مقطع، آزمایش‌هایی روی نمونه‌های تیر بتن مسلح با ضعف برشی برنامه‌ریزی شد که در آزمایشگاه بتن و سازه‌ی دانشگاه یزد انجام شدند و رفتار تیرهای تقویت شده از نظر افزایش ظرفیت باربری، شکل پذیری و جذب انرژی بررسی شدند.

جدول ۱. مشخصات مکانیکی بولت‌ها براساس نتایج آزمون کشش.

حالات	مقاطعت تسلیم (MPa)	مقاطعت نهایی (MPa)	درصد کشیدگی (%)
بولت شماره‌ی ۶	۲۲۰	۳۲۹	۱۰
بولت شماره‌ی ۱۰	۲۵۹	۳۸۹	۱۸



شکل ۳. نمودار نیرو - جابه‌جایی آزمون کشش بولت شماره‌ی ۱۰.

عدد بعد از آن درصد پیش‌تییدگی بولت است. درصد پیش‌تییدگی نسبت به مقاومت تسلیم بولت‌ها سنجیده شده است.

بخش چهارم: نوع بارگذاری در بخش مذکور ارائه شده است، که در آن نشان‌دهنده‌ی تقویت پس از ایجاد ترک و باربرداری و C نشان‌دهنده‌ی تقویت تحت بار ثابت است.

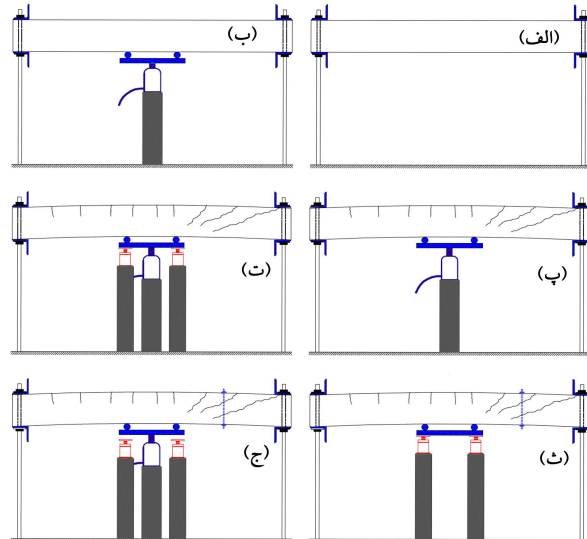
۴. برنامه‌ی آزمایش‌ها

از هر گروه از تیرها، یک نمونه به عنوان تیر شاهد انتخاب شد و بدون هیچ‌گونه تقویتی تا لحظه‌ی گسیختگی تحت بارگذاری قرار گرفت. از ۴ تیر باقی‌مانده از هر گروه، دو نمونه بدون هیچ‌گونه پیش‌تییدگی و دو نمونه با پیش‌تییدگی بولت‌های تقویتی تقویت شدند. از دو نمونه‌ی که بدون پیش‌تییدگی تقویت شدند، یک تیر تحت بار ثابت و دیگری بدون بار ثابت، تحت بارگذاری قرار گرفتند. دو نمونه‌ی دیگر نیز که تحت پیش‌تییدگی تقویت شده بودند، به همین صورت تحت بارگذاری قرار گرفتند.

۱.۴. تقویت نمونه‌ها

تقویت به روش کاشت در ارتفاع مقطع به این صورت است که ابتدا محل مورد نظر جهت تقویت برشی مشخص می‌شود، پس از آن محل مشخص شده توسط دستگاه دریل و به اندازه‌ی قطر مشخص حفاری می‌شود. محل حفاری شده توسط برس سیمی و بعد از آن توسط فشارها، عاری از هیچ‌گونه گردوبغار و مواد لغزندۀ می‌شود. دلیل این تمیزکاری آن است که یک اتصال مناسب بین بولت و بستر بتونی توسط چسب اپوکسی فراهم شود. پس از تمیزکاری سوراخ حفاری شده، بولت تقویتی که از قبل توسط استون کاملاً تمیز شده است، درون سوراخ قرار می‌گیرد و پیچ و مهره در دوسر بولت بسته می‌شود. در صورت نیاز به پیش‌تییده کردن بولت تقویتی، این کار توسط آچار ترک متر انجام می‌شود.

نمونه‌های گروه S ۰ توسط یک بولت شماره‌ی ۱۰ درست در وسط ناحیه‌ی بدون خاموت و نمونه‌های گروه ۱S نیز توسط دو بولت شماره‌ی ۶ در وسط نواحی بدون خاموت تقویت شدند. جزئیات تقویت نمونه‌های دو گروه را می‌توان در شکل‌های ۴ و ۵



(الف) استقرار نمونه در محل بارگذاری؛

(ب) قرار دادن صفحه‌ی بارگذاری و جک هیدرولیکی؛

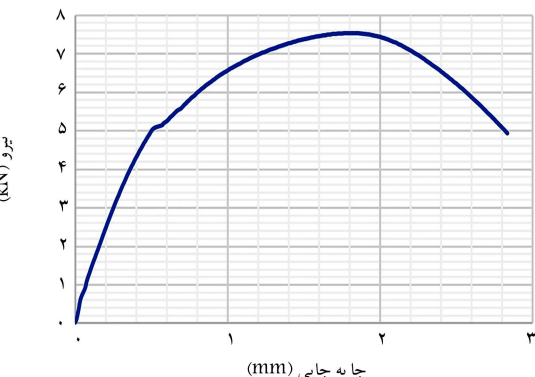
(پ) اعمال نیرو و مشاهده‌ی ترک‌های برشی و تعدادی ترک خمشی؛

(ت) استقرار جک‌های مکانیکی ثابت شونده و فیکس کردن آنها؛

(ث) باربرداری توسط جک هیدرولیکی و پس از آن تقویت نمونه؛

(ج) ادامه بارگذاری پس از تقویت نمونه‌ها تا رسیدن به ظرفت نهایی.

شکل ۱. سازوکار سیستم بارگذاری ثابت.



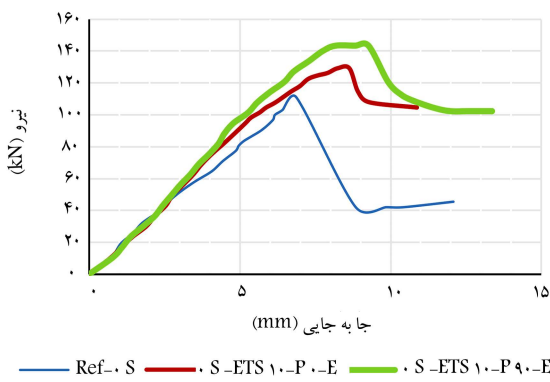
شکل ۲. نمودار نیرو - جابه‌جایی آزمون کشش بولت شماره‌ی ۶.

نامگذاری نمونه‌ها شامل ۴ بخش است که عبارت‌اند از:

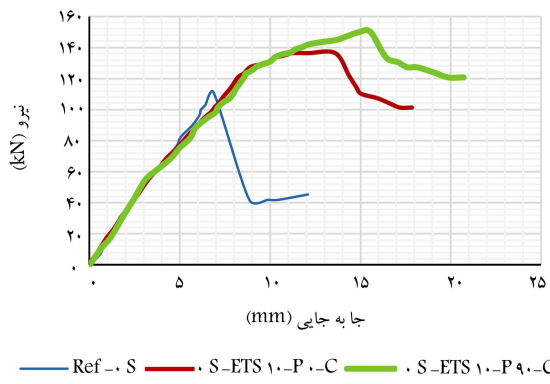
بخش اول (S ۰ یا ۱S) که به این معناست که در طول ۶۰۰ میلی‌متر از طول تیر، هیچ‌گونه خاموتی وجود ندارد و ۱S به این معناست که در طول ۶۰۰ میلی‌متر دقیقاً یک خاموت در وسط آن وجود دارد.

بخش دوم: که در آن ETS ۲ به معنی کاشت در ارتفاع مقطع است و عدد بعد از آن، قطر بولت تقویتی مورد استفاده است.

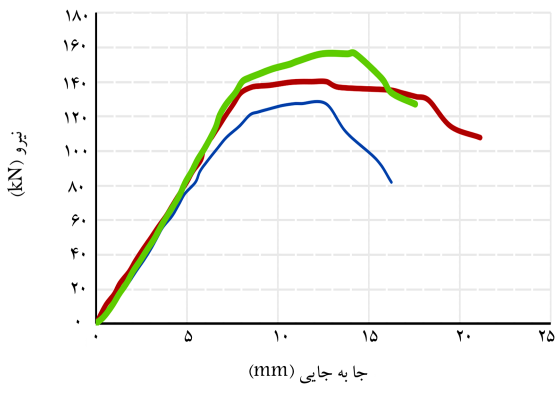
بخش سوم: که در آن P اول کلمه‌ی Prestress به معنی پیش‌تییدگی است و



شکل ۶. مقایسه‌ی نمونه‌ی نمودار بار - جابه‌جایی نمونه‌های S-ETS^۰-P^۰-E و S-ETS^{۱۰}-P^{۹۰}-E با نمونه‌ی S-ETS^{۱۰}-P^۰-E.

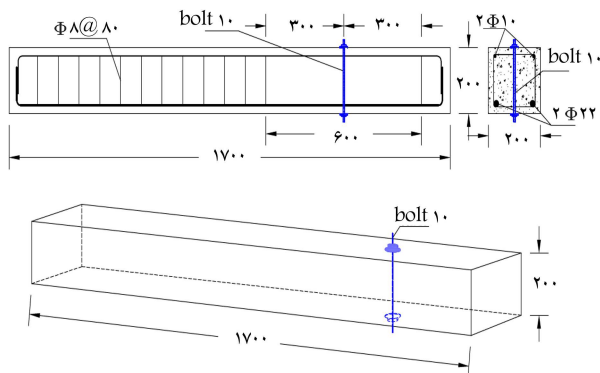


شکل ۷. مقایسه‌ی نمونه‌ی نمودار بار - جابه‌جایی نمونه‌های S-ETS^{۱۰}-P^۰-C و S-ETS^{۱۰}-P^{۹۰}-C با نمونه‌ی S-ETS^{۱۰}-P^۰-E.

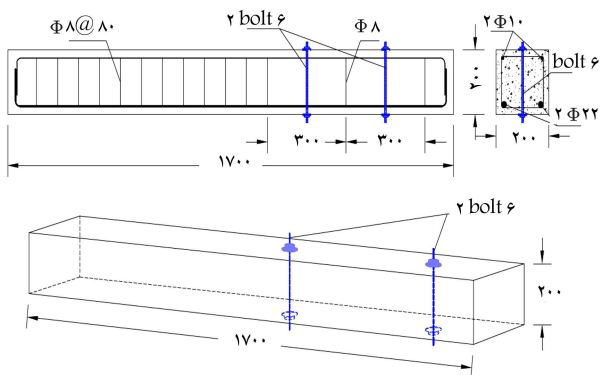


شکل ۸. مقایسه‌ی نمونه‌ی نمودار بار - جابه‌جایی نمونه‌های S-ETS^{۱۰}-P^۰-E و S-ETS^{۱۰}-P^{۹۰}-E با نمونه‌ی 1S-ETS6-P80-E.

در شکل ۷، نمودار بار - تغییرمکان دو نمونه‌ی S-ETS^{۱۰}-P^{۹۰}-C و S-ETS^{۱۰}-P^۰-E با نمونه‌ی شاهدگروه S مقایسه شده است. پیش‌تییدگی در بولت‌های تقویتی در حالت بارثابت، علاوه بر اینکه ظرفیت نهایی تیر را در حدود ۱۰٪ افزایش می‌دهد، شکل پذیری را نیز افزایش داده است. همچنین، میزان جذب انرژی در نمونه با پیش‌تییدگی در حدود ۲۳٪ بالاتر از نمونه بدون پیش‌تییدگی بوده است. در شکل ۸، می‌توان مقایسه‌ی نمودار بار - تغییرمکان دو نمونه‌ی S-ETS^{۱۰}-P^۰-E و S-ETS^{۱۰}-P^{۹۰}-E را با نمونه‌ی شاهدگروه 1S مشاهده کرد. پیش‌تییدگی



شکل ۴. نمونه‌های تقویت شده با یک بولت شماره‌ی ۱۰ (تمام ابعاد بر حسب میلی‌متر).



شکل ۵. نمونه‌های تقویت شده با دو بولت شماره‌ی ۶ (تمام ابعاد بر حسب میلی‌متر).

مشاهده کرد، و همچنین خلاصه‌ی تقویت کلیه‌ی نمونه‌ها در جدول ۲ ارائه شده است.

۳. ارائه و بررسی نتایج

در بخش حاضر، رابطه‌ی بار - تغییرمکان وسط دهانه‌ی نمونه‌های تیر تحت آزمون خشم ۴ نقطه‌یی تا لحظه‌ی شکست ارائه، مقایسه، و بررسی شده‌اند. ظرفیت باربری بیشینه، جابه‌جایی بیشینه در وسط دهانه، نحوی شکست و جذب انرژی از پارامترهای مورد مقایسه بوده است.

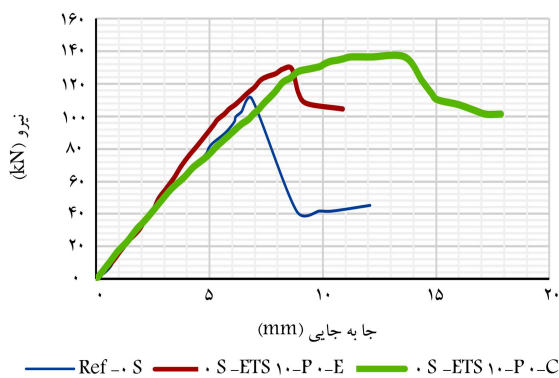
این تذکر لازم است که به منظور محاسبه‌ی میزان جذب انرژی هر یک از نمونه‌ها، مساحت زیر منحنی بار - جابه‌جایی نمونه تا لحظه‌ی بیشینه‌ی ظرفیت آن محاسبه شده و بخش نزولی بعد از بیشینه‌ی ظرفیت در محاسبه‌ی میزان جذب انرژی در نظر گرفته نشده است.

۱۰. اثر پیش‌تییدگی بولت‌های تقویتی

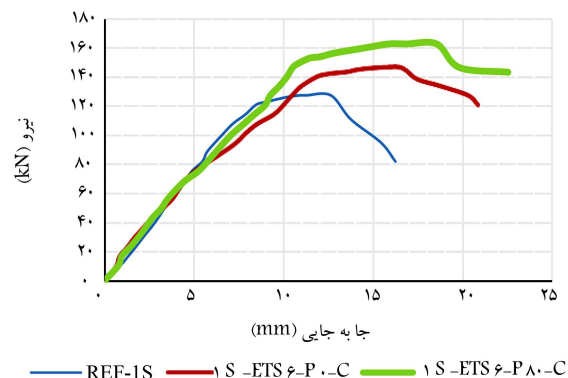
به منظور بررسی اثر پیش‌تییدگی، نمونه‌هایی که از لحاظ نوع بارگذاری یکسان هستند و فقط پیش‌تییده بودن و یا نبودن در آن‌ها متغیر است، با یکدیگر مقایسه شده‌اند. در شکل ۶، نمودار بار - تغییرمکان دو نمونه‌ی S-ETS^{۱۰}-P^{۹۰}-E و S-ETS^{۱۰}-P^۰-E با نمونه‌ی شاهدگروه S مقایسه شده است. اعمال پیش‌تییدگی، ظرفیت نهایی تیر را در حدود ۱۱٪ افزایش داده است. علاوه بر این، میزان جذب انرژی در نمونه با پیش‌تییدگی در حدود ۲۲٪ بالاتر از نمونه بدون پیش‌تییدگی است.

جدول ۲. خلاصه‌ی تقویت نمونه‌ها.

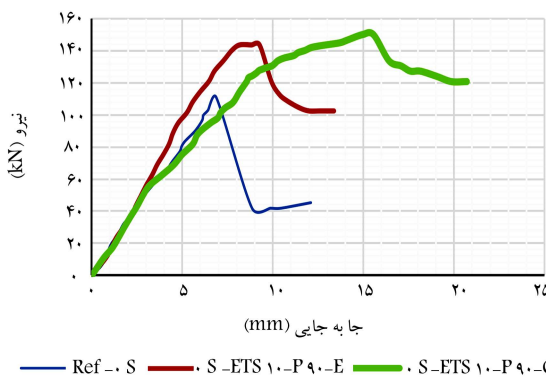
گروه	نمونه	شماره بولت تقویتی	نحوه تقویت
S	REF-°S	-	-
	°S-ETS ۱۰-P°-E	۱۰	با ۱۰۰ کیلونیوتون بارگذاری اولیه + بدون پیش‌تییدگی بولت‌ها
	°S-ETS ۱۰-P۹۰-E	۱۰	با ۱۰۰ کیلونیوتون بارگذاری اولیه + با ۹۰٪ پیش‌تییدگی بولت‌ها
	°S-ETS ۱۰-P°-C	۱۰	با ۱۰۰ کیلونیوتون بارگذاری بار ثابت + بدون پیش‌تییدگی بولت‌ها
S	°S-ETS ۱۰-P۹۰-C	۱۰	با ۱۰۰ کیلونیوتون بارگذاری بار ثابت + با ۹۰٪ پیش‌تییدگی بولت‌ها
	REF-°S	-	-
	۱S-ETS ۶-P°-E	۶	با ۱۲۰ کیلونیوتون بارگذاری اولیه + بدون پیش‌تییدگی بولت‌ها
	۱S-ETS ۶-P۸۰-E	۶	با ۱۲۰ کیلونیوتون بارگذاری اولیه + با ۸۰٪ پیش‌تییدگی بولت‌ها
S	۱S-ETS ۶-P°-C	۶	با ۱۲۰ کیلونیوتون بارگذاری بار ثابت + بدون پیش‌تییدگی بولت‌ها
	۱S-ETS ۶-P۸۰-C	۶	با ۱۲۰ کیلونیوتون بارگذاری بار ثابت + با ۸۰٪ پیش‌تییدگی بولت‌ها



شکل ۱۰. مقایسه‌ی نمودار بار - جابه‌جایی نمونه‌های °S-ETS ۱۰-P۹۰-E و °S-ETS ۱۰-P°-C با نمونه‌ی S



شکل ۹. مقایسه‌ی نمودار بار - جابه‌جایی نمونه‌های C- ۱S-ETS ۶-P°-C و ۱S-ETS ۶-P۸۰-C با نمونه‌ی ۱S-ETS ۶-P۸۰-C



شکل ۱۱. مقایسه‌ی نمودار بار - جابه‌جایی نمونه‌های E- ۱S-ETS ۱۰-P۹۰-E و °S-ETS ۱۰-P۹۰-C با نمونه‌ی S

نمونه‌ی C- ۱S-ETS ۱۰-P°-E نسبت به نمونه‌ی °S-ETS ۱۰-P°-C مشاهده شده است. ظرفیت نهایی نمونه‌ی تحت بار ثابت در حدود ۶٪ بیشتر از نمونه‌ی باربرداری شده است. علاوه بر این، میران جذب انرژی در نمونه‌ی تحت بار ثابت در حدود ۶٪ بالاتر از نمونه‌ی باربرداری شده است و افزایش شکل پذیری نمونه‌های تقویت شده تحت بار ثابت کاملاً مشهود است.

در شکل ۱۱، نمودار بار - تغییرمکان ۳ نمونه‌ی S- ۱۰-P۹۰-E، REF-°S و °S-ETS ۱۰-P۹۰-C در

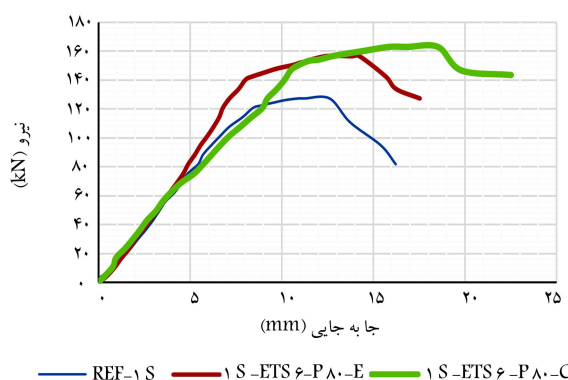
ظرفیت نهایی تیر را در حدود ۱۱٪ افزایش داده است. البته میران جذب انرژی در نمونه با پیش‌تییدگی اندکی کمتر از نمونه بدون پیش‌تییدگی است. شکل ۹، مقایسه‌ی نمودار بار - تغییرمکان دو نمونه ۱S-ETS ۶-P۸۰-C و ۱S-ETS ۶-P°-C با نمونه ۱S نشان می‌دهد. پیش‌تییدگی در بولت‌های تقویتی در حالت بار ثابت، علاوه بر اینکه ظرفیت نهایی تیر را در حدود ۱۱٪ افزایش داده است، شکل پذیری را نیز افزایش می‌دهد. همچنین، میران جذب انرژی در نمونه با پیش‌تییدگی، در حدود ۲٪ بالاتر از نمونه بدون پیش‌تییدگی است. بررسی مجموعه‌ی شکل‌های ۵ الی ۸ بیانگر تأثیر مثبت پیش‌تییدگی در بولت‌های تقویت بررسی در افزایش ظرفیت باربری (حدود ۱۱٪) و در بیشتر موارد جذب انرژی (تا حدود ۲۳٪) است. شکل پذیری و جابه‌جایی بیشینه نیز در بیشتر موارد بهبود یافته است.

۲.۳. اثر بار ثابت در تیرهای تقویتی

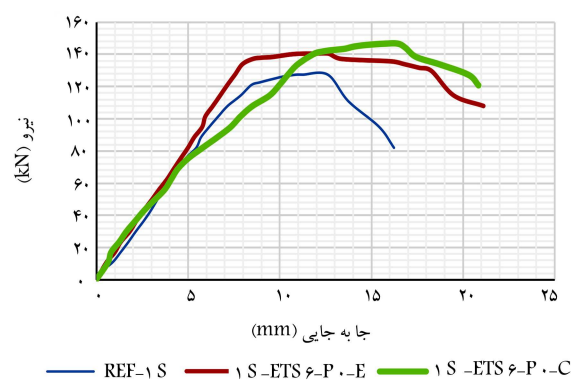
در اینجا به منظور بررسی تأثیر نحوه بارگذاری در تقویت نمونه، نمونه‌هایی که از لحاظ پیش‌تییده بودن و یا نبودن بولت‌های تقویتی مشابه هستند و فقط از لحاظ نوع بارگذاری در هنگام تقویت، یعنی تحت بار ثابت بودن و یا باربرداری شدن قافت دارند، با هم مقایسه شده‌اند. در شکل ۱۰، نمودارهای بار - تغییرمکان ۳ نمونه‌ی S-ETS ۱۰-P°-C و S-EST ۱۰-P°-E با هم مقایسه شده‌اند. افزایش ظرفیت باربری ۱۶,۵٪ نمونه‌ی S-ETS ۱۰-P°-E و ۲۳٪

جدول ۳. خلاصه‌ی نتایج به دست آمده برای نمونه‌های مورد آزمایش.

گروه	نمونه	ظرفیت نهایی (kN)	افزایش طرفیت (%)	جابه جایی (mm)	افزایش جابه جایی (%)	نحوه گسیختگی
S	REF-°S	۱۱۰/۹۳	-	۵/۲۲	-	شکست برشی
	°S-ETS1°-P°-E	۱۲۹/۱۱	۱۶	۸/۶۳	۶۵	شکست برشی
	°S-ETS1°-P9°-E	۱۴۳/۵۲	۲۹	۹/۲۶	۷۷	شکست برشی
	°S-ETS1°-P°-C	۱۳۶/۴۵	۲۳	۱۳/۶۱	۱۶۰	شکست برشی
	°S-ETS1°-P9°-C	۱۵۰/۰۸۶	۳۵	۱۵/۵۶	۱۹۸	شکست برشی
1S	REF-1S	۱۲۷/۳۰۲	-	۱۲/۶۲	-	شکست برشی
	1S-ETS6-P°-E	۱۴۰/۲۷	۱۰	۱۳/۵۶	۵/۷	شکست برشی
	1S-ETS6-P8°-E	۱۵۶/۴۹	۲۳	۱۴/۲۵	۱۳	شکست خمی
	1S-ETS6-P°-C	۱۴۶/۷۶۴۸	۱۵	۱۶/۴۶	۳۰	شکست برشی
	1S-ETS6-P8°-C	۱۶۲/۹۸۳۸	۲۸	۱۸/۵۴	۴۷	شکست خمی



شکل ۱۳. مقایسه‌ی نمودار بار - جابه جایی نمونه‌های 1S-ETS6-P80-E و 1S-ETS6-P80-C با نمونه ۱S-ETS6-P°-C.



شکل ۱۲. مقایسه‌ی نمودار بار - جابه جایی نمونه‌های 1S-ETS6-P°-E و 1S-ETS6-P°-C با نمونه ۱S-ETS6-P°-C.

بررسی شکل‌های ۱۰ الی ۱۳ نشان می‌دهد که با حفظ بار ثابت و عدم باربرداری از نمونه‌ها در هنگام تقویت برشی، تأثیر تقویت هم از نظر افزایش مقاومت (۴۰ درصد) و هم از نظر افزایش جذب انرژی (تا ۶۰٪) بهتر بوده است. همچنین شکل‌پذیری مناسب‌تری حاصل شده و تغییر مکان متناظر با شکست نیز افزایش یافته است. تفاوت عملکرد تقویت تحت بار ثابت و پس از باربرداری را می‌توان در دیرتر وارد عمل شدن میلگرد و استفاده‌ی بیشتر از ظرفیت انتقال برشی بتن دانست. مقاومت برشی نهایی به طور معنی‌داری افزایش نیافتد است، اما تفاوت شکل‌پذیری و جذب انرژی قابل توجه بوده است. درصد افزایش مقاومت و جابه جایی متناظر با ظرفیت نهایی و همچنین مود شکست نمونه‌های مورد آزمایش به صورت خلاصه در جدول ۳ ارائه شده است.

۴. نتیجه‌گیری

مطالعه‌ی آزمایشگاهی حاضر به منظور بررسی تأثیر پیش بارگذاری وجود بار ثابت در نمونه‌های تیزهای مسلح با ضعف مقاومت برشی، که به روش کاشت میلگرد در ارتفاع مقطع تقویت می‌شوند و همچنین بررسی تأثیر پیش‌تینیدگی میلگرد در آزمایشگاه بتن و سازه‌ی دانشگاه یزد صورت گرفت. از آنجا که تقویت برشی سازه‌های موجود معمولاً پس از مشاهده ضعف برشی و ترک خورگی صورت می‌گیرد، لذا در کلیه‌ی

EST و S-ETS1°-P9°-C با یکدیگر مقایسه شده است. مقاومت نهایی نمونه‌ی 1S-ETS1°-P9°-E در حدود ۲۹٪ و مقاومت نهایی نمونه‌ی 1S-ETS1°-P°-S در حدود ۳۵٪ بالاتر از نمونه‌ی REF-°S بوده است. ظرفیت نهایی نمونه تحت بار ثابت در حدود ۵٪ بیشتر از نمونه‌ی باربرداری شده است. علاوه بر این، میزان جذب انرژی در نمونه‌ی تحت بار ثابت در حدود ۶۰٪ بالاتر از نمونه‌ی باربرداری شده قبل از تقویت مشاهده شده و افزایش شکل‌پذیری نیز کاملاً مشهود است.

در شکل ۱۲، مقایسه‌ی نمودار بار - تغییر مکان ۳ نمونه‌ی 1S-ETS6-P°-C و 1S-ETS6-P°-E با نمونه ۱S-ETS6-P°-C مشاهده می‌شود. ظرفیت نهایی نمونه تحت بار ثابت در حدود ۴٪ بیشتر از نمونه‌ی باربرداری شده است. میزان جذب انرژی در نمونه تحت بار ثابت نیز اندکی بیشتر از نمونه‌ی باربرداری شده است. در شکل ۱۳، نمودار ۱S-ETS6-P8°-E، REF-1S و 1S-ETS6-P8°-C با یکدیگر مقایسه شده است.

مقاومت نهایی نمونه‌ی E-ETS6-P8°-E در حدود ۲۳٪ و مقاومت نهایی نمونه‌ی C-ETS6-P8°-C در حدود ۲۹٪ بالاتر از نمونه‌ی 1S-ETS6-P°-S بوده است. ظرفیت نهایی نمونه تحت بار ثابت در حدود ۵٪ بیشتر از نمونه‌ی باربرداری شده است. علاوه بر این، میزان جذب انرژی در نمونه تحت بار ثابت در حدود ۳۰٪ بالاتر از نمونه‌ی بدون بار ثابت است.

۴. هر چند فواصل بولت‌های کاشته شده در مقایسه با ضوابط آین نامه‌یی در رابطه با بیشتری فواصل آرماتور برشی پیشتر بوده است، ولی تأثیر آن‌ها به ویژه در حالت پیش‌تییده بسیار قابل ملاحظه بوده است. با اعمال نیروی پیش‌تییدگی قائم در ارتفاع مقطع بتنی، زاویه‌ی ترک‌های برشی کاهش یافته و آرماتورهای برشی تا فواصل بیشتری تأثیرگذار بودند. این کاهش زاویه‌ی ترک برشی به افزایش مقاومت برشی تقویت در حالت پیش‌تییده نسبت به همان تقویت در حالت بولت غیرپیش‌تییده منجر شده است.

۵. در دو نمونه از تیرهای مورد آزمایش، ضعف برشی کاملاً بطرف شد و مذکور است به حالت خمی تغییر کرد. در هر دو نمونه‌ی مذکور از کاشت بولت پیش‌تییده و با فاصله‌ی ۱۵۰ میلی‌متر از آرماتورهای برشی موجود (بسیار بیشتر از بیشینه‌ی فاصله‌ی مجاز آرماتورهای برشی یعنی $2(d)$) استفاده به عمل آمده بود.

۶. تأثیر بولت تقویتی پیش‌تییده به طور قابل ملاحظه‌ی بیشتر از خاموت از قبل تعیینه شده در مقطع تیر بوده است. ظرفیت باربری تیرهای گروه S^۰ که با یک میلگرد پیش‌تییده‌ی نمره ۱۰ در وسط دهانه برش تقویت شده بودند، بسیار بهتر از نمونه‌ی شاهد گروه 1S بود که یک خاموت دو شاخه‌ی نمره ۸ (با سطح مقطع بزرگ‌تر از یک میلگرد نمره ۱۰) در وسط دهانه برش داشت.

۷. براساس نتایج پژوهش حاضر، استفاده از کاشت میلگرد پیش‌تییده در ارتفاع مقطع تیرهای با ضعف و ترک برشی، بدون باربرداری تیر در هنگام تقویت، روشی کاملاً اجرایی و مؤثر برای تقویت برشی این‌گونه تیرها خواهد بود.

نمونه‌ها، تقویت پس از پیش‌بارگذاری و ایجاد عمدی ترک‌های برشی هشداردهنده در تیر انجام شد. در نیمی از نمونه‌های تقویت شده، تقویت برشی پس از باربرداری و بسته شدن نسبی ترک‌ها و در بقیه، تقویت تحت بار ثابت و بدون باربرداری انجام شد. کاشت میلگرد (از نوع بولت تمام رزو) نیز به دو صورت معمولی و پیش‌تییده (با سفت کردن بولت توسط ترک متر) صورت گرفت.

نتایج به دست آمده از انجام آزمایش خمسه 4 نقطه‌یی بر روی 10° نمونه تیر در پژوهش حاضر را می‌توان به این شرح خلاصه کرد:

۱. در روش کاشت در ارتفاع مقطع به خاطر محصوریت کاملی که در اطراف بولت تقویتی به وجود می‌آید، از جداستدگی زودهنگام بولت از مقطع بتنی جلوگیری و از بیشینه‌ی ظرفیت بولت استفاده می‌شود و بولت تا لحظه‌ی گسیختگی کامل پیش می‌رود.

۲. برخلاف تصور اولیه، حفظ بار ثابت در هنگام تقویت نه فقط منجر به کاهش تأثیر تقویت برشی نشد، بلکه ظرفیت نهایی نمونه‌های نمونه‌های تقویت شده تحت باراندکی (از 4 تا 11 درصد) بیشتر از نمونه‌های مشابه باربرداری شده مشاهده شد. علاوه بر این، جذب انرژی، شکل‌پذیری، و جابه‌جایی بیشینه‌ی نمونه‌های تقویت شده تحت بار نسبت به نمونه‌های باربرداری شده در هنگام تقویت بهتر بود.

۳. اعمال پیش‌تییدگی روی بولت تقویتی در تمامی موارد باعث بهبود ظرفیت باربری نهایی (10%) و در بیشتر موارد باعث بهبود جذب انرژی (20%) و شکل‌پذیری شد.

پانوشت‌ها

1. debonding
2. embedded through-section

منابع (References)

1. Barros, J.A.O., Dalfr, G.M., Trombini, E. and Aprile, A. "Exploring the possibilities of a new technique for the shear strengthening of RC elements", *In Proceedings of International Conference of Challenges Civil Construction (CCC2008)*, Univ. Porto, Porto, Portugal (16-18 Apr., 2008).
2. Barros, J.A.O. and Dias, S.J.E. "Near surface mounted CFRP laminates for shear strengthening of concrete beam", *Cement and Concrete Composites*, **28**(3), pp. 276-292 (2006).
3. Dias, S.J.E. and Barros, J.A.O. "NSM CFRP laminates for the shear strengthening of T section RC beams", 2nd International fib Congress, Naples, Italy, Paper ID 10-58 in CD (2006).
4. Dias, S.J.E., Bianco, V., Barros, J.A.O. and Monti, G. "Low strength concrete T cross section RC beams strengthened in shear by NSM technique", Workshop Materiali ed Approcci Innovativi Per Ilprogetto in Zona Sismica E La Mitigazione Della Vulnerabilità Delle Strutture, University of Salerno, Italy (12-13 Feb., 2006).
5. Oehlers, D.J., Haskett, M., Wu, C. and Seracino, R. "Embedding NSM FRP plates for improved IC debonding resistance", *J. Compos. Constr.*, **12**(6), pp. 635-642 (2008).
6. Bianco, V., Barros, J.A.O. and Monti, G. "Bond model of NSM CFRP in the context of the shear strengthening of RC beams", *ASCE J. Struct. Eng.*, **135**(6), pp. 619-631 (2009).
7. Mohamed Ali, M.S., Oehlers, D.J., Griffith, M.C. and et al. "Interfacial stress transfer of near surface-mounted FRP-to-concrete joints", *Eng. Struct.*, **30**(7), pp. 1861-1868 (2008).
8. Godat, A., ASCE, M., L'Hadie, A. and et al. "Bond behavior of the ETS FRP bar shear-strengthening method", *J. Compos. Constr.*, **16**, pp. 529-539 (2012).
9. Chaallal, O., Mofidi, A., Benmokrane, B. and et al. "Embedded through-section FRP rod method for shear strengthening of RC beams: Performance and comparison with existing techniques", *J. Compos. Constr.*, **15**(3), pp. 374-383 (2011).
10. Chaallal, O., Mofidi, A., Benmokrane, B. and et al. "Experimental tests and design model for RC beams strengthened in shear using the embedded through-section FRP method", *J. Compos. Constr.*, **16**(5), pp. 540-550 (2012).

11. Breveglieri, M., Aprile, A. and Barros, J.A.O. "Shear strengthening of reinforced concrete beams strengthened using embedded through section steel bars", *Engineering Structures*, **81**, pp. 76-87 (2014).
12. Breveglieri, M., Aprile, A. and Barros, J.A.O. "Embedded through-section shear strengthening technique using steel and CFRP bars in RC beams of different percentage of existing stirrups", *Composite Structures*, **126**, pp. 101-113 (2015).
13. Breveglieri, M., Aprile, A. and Barros, J.A.O. "RC beams strengthened in shear using the Embedded Through-Section technique: Experimental results and analytical formulation", *Composites: Part B*, **89**, pp. 266-281 (2016).
14. Barros, J.A.O. and Dalfre, G.M. "Assessment of the effectiveness of the embedded through-section technique for the shear strengthening of reinforced concrete beams", *Strain*, **49**(1), pp. 75-93 (2012).